# Capítulo 8

# Integração Tripla

# 8.1 Integração Tripla sobre Paralelepípedos

Este capítulo é totalmente análogo ao anterior.

Sejam  $R \subset \mathbb{R}^3$  o paralelepípedo retangular definido por  $R = [a,b] \times [c,d] \times [p,q]$  e a função limitada w = f(x,y,z) definida em R. Consideremos as seguintes partições de ordem n dos intervalos: [a,b], [c,d] e [p,q]:

$$a = x_0 < x_1 < \dots < x_n = b$$
  
 $c = y_0 < y_1 < \dots < y_n = d$   
 $p = z_0 < z_1 < \dots < z_n = q$ .

Subdividamos R em  $n^3$  sub-paralelepípedos  $R_{ijk} = [x_i, x_{i+1}] \times [y_j, y_{j+1}] \times [z_k, z_{k+1}]$ .

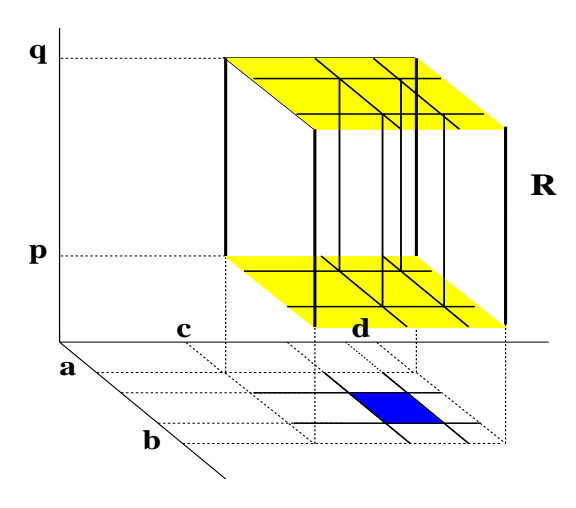


Figura 8.1: Subdivisão de *R*.

Denotemos por  $\Delta x = \frac{b-a}{n}, \ \Delta y = \frac{d-c}{n}, \ \Delta z = \frac{q-p}{n}$ . Escolhamos  $c_{ijk} \in R_{ijk}$  e formemos a seguinte soma de Riemann:

$$S_n = \sum_{i=0}^{n-1} \sum_{j=0}^{n-1} \sum_{k=0}^{n-1} f(c_{ijk}) \Delta x \, \Delta y \, \Delta z.$$

**Definição 8.1.** Se  $\lim_{n\to+\infty} S_n$  existe e é independente da escolha dos  $c_{ijk} \in R_{ijk}$  e da partição, denominamos este limite de integral tripla de f sobre R e a denotamos por:

$$\lim_{n \to +\infty} S_n = \iiint_R f(x, y, z) \, dx \, dy \, dz$$

Em tal caso f é dita **integrável sobre** R.

**Teorema 8.1.** Se f é contínua em R, então f é integrável sobre R.

Para a prova do teorema veja [EL].

No capítulo anterior vimos que se  $f(x,y) \geq 0$  e contínua para todo  $(x,y) \in [a,b] \times [c,d]$ , a integral dupla  $\iint_R f(x,y) \, dx \, dy$  representa o volume do sólido:

$$W = \{(x, y, z) \in \mathbb{R}^3 \mid (x, y) \in [a, b] \times [c, d], \ 0 \le z \le f(x, y)\}.$$

Para integrais triplas esta interpretação geométrica não é conveniente, pois o gráfico de f é um subconjunto de  $\mathbb{R}^4$  o qual não é possível visualizar.

Mas se f(x, y, z) = 1 para todo  $(x, y, z) \in R$ ,  $\iiint_R f(x, y, z) dx dy dz$  representa o volume de R (veja o exemplo 1). Isto se justifica, pois a soma de Riemann correspondente:

$$S_n = \sum_{i=0}^{n-1} \sum_{j=0}^{n-1} \sum_{k=0}^{n-1} \Delta x \, \Delta y \, \Delta z$$

é a soma dos volumes dos  $n^3$  sub-paralelepípedos formado pela partição; então,  $\lim_{n\to +\infty} S_n$  é exatamente o volume de R.

A integral tripla tem propriedades análogas às das integrais duplas.

Proposição 8.1. Seja  $\mathbf{x} = (x, y, z) \in R$ .

1. Linearidade da integral tripla. Se f e g são funções integráveis sobre R, então para todo  $\alpha$ ,  $\beta \in \mathbb{R}$ ,  $\alpha f + \beta g$  é integrável sobre R, e:

$$\iiint_{R} (\alpha f(\mathbf{x}) + \beta g(\mathbf{x})) dx dy dz = \alpha \iiint_{R} f(\mathbf{x}) dx dy dz + \beta \iiint_{R} g(\mathbf{x}) dx dy dz$$

onde  $\mathbf{x} = (x, y, z)$ .

2. Se f e g são integráveis sobre R e  $g(\mathbf{x}) \leq f(\mathbf{x})$ , para todo  $\mathbf{x} \in R$ , então:

$$\left| \iiint_{R} g(\mathbf{x}) \, dx \, dy \, dz \leq \iiint_{R} f(\mathbf{x}) \, dx \, dy \, dz \right|$$

3. Se R é subdividido em k paralelepípedos e f é integrável sobre cada  $R_i$ , i = 1, ..., k então f é integrável sobre R e,

$$\iiint_{R} f(\mathbf{x}) dx dy dz = \sum_{i=1}^{k} \iiint_{R_{i}} f(\mathbf{x}) dx dy dz$$

A prova segue diretamente das definições.

A noção de conteúdo nulo poder ser estendida ao paralelepípedo R de forma completamente análoga ao caso do retângulo; mudando sub-retângulos por sub-paralelepípedos e área por volume. Como antes, o teorema é válido se o conjunto de descontinuidades de f é de conteúdo nulo. Para integrais triplas continua valendo o teorema de Fubini. Agora temos 3! = 9 possíveis integrais iteradas.

**Teorema 8.2.** (Fubini) Seja  $f: R \longrightarrow \mathbb{R}$  contínua em R. Então:

$$\iiint_{R} f(x, y, z) dx dy dz = \int_{a}^{b} \left[ \int_{c}^{d} \left[ \int_{p}^{q} f(x, y, z) dz \right] dy \right] dx$$

$$= \int_{p}^{q} \left[ \int_{c}^{d} \left[ \int_{a}^{b} f(x, y, z) dx \right] dy \right] dz$$

$$= \int_{c}^{d} \left[ \int_{a}^{b} \left[ \int_{p}^{q} f(x, y, z) dz \right] dx \right] dy$$

$$= \int_{a}^{b} \left[ \int_{p}^{q} \left[ \int_{c}^{d} f(x, y, z) dy \right] dz \right] dx$$

$$= \dots \dots \dots$$

A prova do teorema de Fubini para integrais triplas é completamente análoga à das integrais duplas, que pode ser vista no apêndice.

#### Exemplo 8.1.

[1] Calcule 
$$\iiint_R dx \, dy \, dz$$
, onde  $R = [a,b] \times [c,d] \times [p,q]$ . 
$$\iiint_R dx \, dy \, dz = \int_a^b \left[ \int_p^q \left[ \int_c^d dy \right] dz \right] dx = (d-c) \, (q-p) \, (b-a),$$

que é o volume de R.

$$\begin{aligned} & [2] \, \text{Calcule} \, \iiint_R xyz \, dx \, dy \, dz, \, \text{onde} \, R = [0,1] \times [1,2] \times [0,3]. \\ & \iiint_R xyz \, dx \, dy \, dz = \int_1^2 \left[ \int_0^1 \left[ \int_0^3 xyz \, dz \right) dx \right] dy = \frac{9}{2} \int_1^2 \left[ \int_0^1 x \, y \, dx \right] dy = \frac{27}{8}. \\ & [3] \, \text{Calcule} \, \iiint_R sen(x+y+z) \, dx \, dy \, dz, \, \text{onde} \, R = [0,\pi] \times [0,\pi] \times [0,\pi]. \\ & \iiint_R sen(x+y+z) \, dx \, dy \, dz = \int_0^\pi \left[ \int_0^\pi \left[ \int_0^\pi sen(x+y+z) \, dz \right] dx \right] dy = -8. \end{aligned}$$

[4] Calcule 
$$\iiint_R (x^2 + y^2 + z^2 + x y z) dx dy dz$$
, onde  $R = [0, 1] \times [0, 1] \times [0, 1]$ .

$$\iiint_{R} (x^{2} + y^{2} + z^{2} + x y z) dx dy dz = \int_{0}^{1} \left[ \int_{0}^{1} \left[ \int_{0}^{1} (x^{2} + y^{2} + z^{2} + x y z) dz \right] dx \right] dy$$
$$= \int_{0}^{1} \left[ \int_{0}^{1} (x^{2} + y^{2} + \frac{1}{3} + \frac{1}{2} x y) dx \right] dy$$
$$= \int_{0}^{1} \left( \frac{2}{3} + \frac{y}{4} + y^{2} \right) dy = \frac{9}{8}.$$

# 8.2 Integrais Triplas sobre Regiões mais Gerais

# 8.2.1 7.2.1 Regiões Elementares no Espaço

De forma análoga ao estudado no capítulo das integrais duplas definidas em regiões mais gerais. Consideremos  $W \subset \mathbb{R}^3$ .

## Regiões de tipo I

A região W é do tipo I se pode ser descrita por:

$$W = \{(x, y, z) \in \mathbb{R}^3 / (x, y) \in D, f_1(x, y) \le z \le f_2(x, y)\}$$

onde D é a região elementar do plano, projeção de W no plano xy e  $f_1, f_2: D \longrightarrow \mathbb{R}$  contínuas, sendo  $f_1 \leq f_2$ .

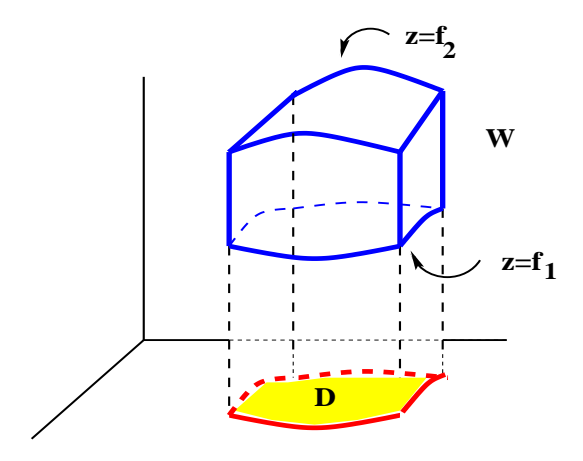


Figura 8.2: Região de tipo I.

## Regiões de tipo II

W é do tipo II se pode ser descrita por:

$$W = \{(x, y, z) \in \mathbb{R}^3 / (x, z) \in D, g_1(x, z) \le y \le g_2(x, z)\}$$

onde D é a região elementar do plano, projeção de W no plano xz e  $g_1, g_2: D \longrightarrow \mathbb{R}$  contínuas, sendo  $g_1 \leq g_2$ .

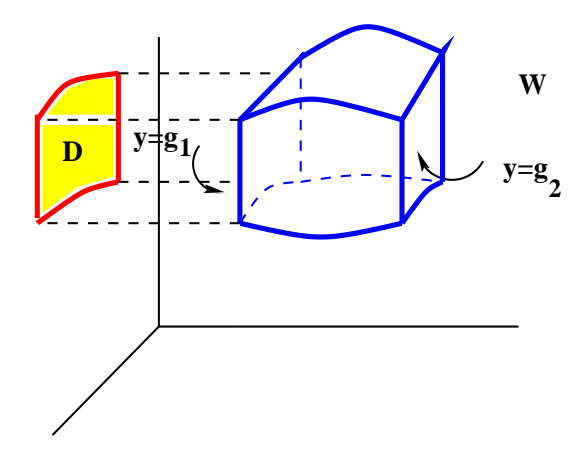


Figura 8.3: Região de tipo II.

## Regiões de tipo III

W é do tipo III se pode ser descrita por:

$$W = \{(x, y, z) \in \mathbb{R}^3 / (y, z) \in D, h_1(y, z) \le x \le h_2(y, z)\}$$

onde D é a região elementar do plano, projeção de W no plano yz e  $h_1, h_2: D \longrightarrow \mathbb{R}$  contínuas, sendo  $h_1 \le h_2$ .

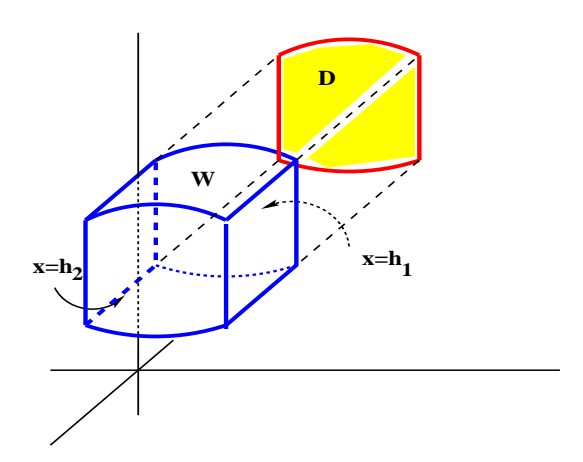


Figura 8.4: Região de tipo III.

A região W é de tipo IV se é do tipo I, ou tipo II, ou tipo III, como por exemplo região limitada por uma esfera, ou por um elipsóide.

Em qualquer dos casos anteriores, W é chamada **região elementar do espaço**. As regiões W são conjuntos fechados e limitados em  $\mathbb{R}^3$ . Alguns exemplos de regiões elementares:

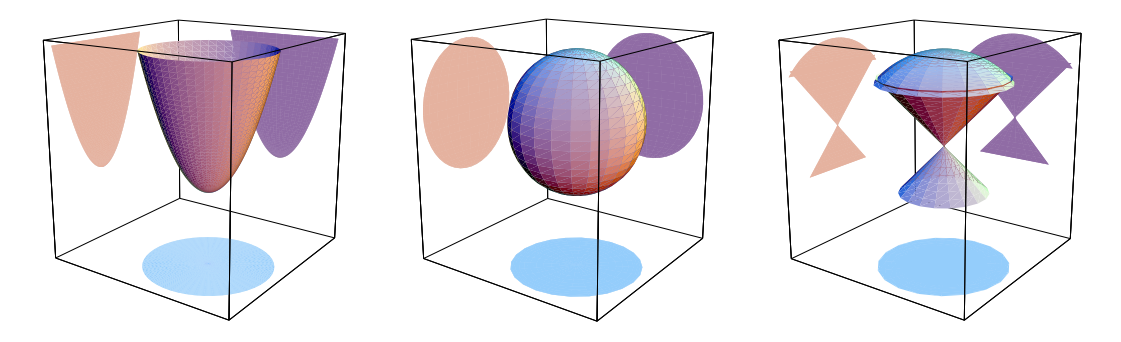


Figura 8.5: Regiões elementares do espaço.

# 8.3 Extensão da Integral Tripla

Seja W uma região elementar em  $\mathbb{R}^3$  tal que  $W\subset R$ , R um paralelepípedo como antes. Se  $f:W\longrightarrow \mathbb{R}$  é uma função contínua, definamos  $f^*:R\longrightarrow \mathbb{R}$  por

$$f^*(x,y,z) = \begin{cases} f(x,y,z) & \text{se } (x,y,z) \in W \\ 0 & \text{se } (x,y,z) \in R - W. \end{cases}$$

Se  $\partial W$  tem conteúdo nulo, então,  $f^*$  é integrável sobre R e definimos a integral tripla de f sobre W como:

$$\iiint_W f(x,y,z) dx dy dz = \iiint_R f^*(x,y,z) dx dy dz.$$

Em tal caso dizemos que f é integrável sobre W. A integral não depende da escolha do paralelepípedo R.

**Proposição 8.2.** Seja  $f:W\subset\mathbb{R}^3\longrightarrow\mathbb{R}$  contínua.

1. Se W é do tipo I:

$$\left[ \int \int \int_W f(x,y,z) \ dx \ dy \ dz = \int \int_D \left[ \int_{f_1(x,y)}^{f_2(x,y)} f(x,y,z) \ dz 
ight] dx \ dy 
ight]$$

2. Se W é do tipo II:

$$\iiint_W f(x,y,z) \, dx \, dy \, dz = \iint_D \left[ \int_{g_1(x,z)}^{g_2(x,z)} f(x,y,z) \, dy \right] dx \, dz$$

3. Se W é do tipo III:

$$\left[\iiint_W f(x,y,z) \, dx \, dy \, dz = \iint_D \left[ \int_{h_1(y,z)}^{h_2(y,z)} f(x,y,z) \, dx \right] dy \, dz \right]$$

233

Observe que em todos os casos anteriores D é uma região elementar do plano e, portanto, pode ser do tipo I, II ou III; dependendo do tipo continuamos com a integral dupla.

**Volume :** Em particular, se f(x, y, z) = 1 para todo  $(x, y, z) \in W$ , então:

$$\iiint_{W} dx \, dy \, dz = V(W)$$

onde V(W) é o volume de W.

#### Exemplo 8.2.

[1] Calcule 
$$\mathbf{I} = \int_0^2 \int_0^{4-x^2} \int_0^x \frac{sen(2\,z)}{4-z} \, dy \, dz \, dx$$
.  
Note que  $\mathbf{I} = \iint_D \left[ \int_0^x \frac{sen(2\,z)}{4-z} \, dy \right] dz \, dx$ , onde  $D = \{(x,z) \, / \, 0 \le x \le 2, \, 0 \le z \le 4-x^2\}$ :

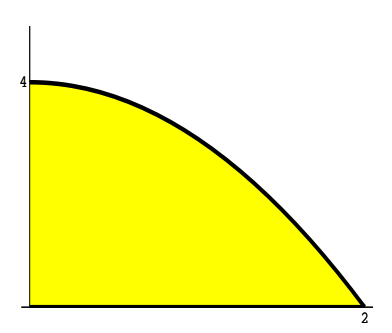


Figura 8.6:

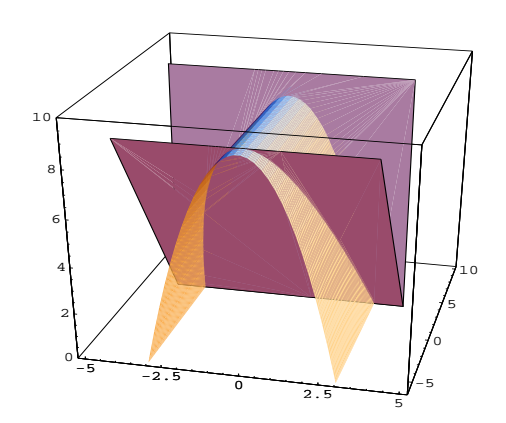
Calculamos primeiro  $\int_0^x \frac{sen(2z)}{4-z} dy = \frac{x \, sen(2z)}{4-z}$ ; a seguir, precisamos calcular:

$$\iint_{D} \frac{x \operatorname{sen}(2 z)}{4 - z} \, dz \, dx,$$

onde consideramos  $D=\{(x,z)\,/\,0\leq x\leq \sqrt{4-z},\,0\leq z\leq 4\}$  como uma região de tipo III; logo,

$$\mathbf{I} = \int_0^4 \int_0^{\sqrt{4-z}} \frac{x \operatorname{sen}(2 z)}{4-z} \, dx \, dz = \int_0^4 \frac{\operatorname{sin}(2 z)}{2} \, dz = \frac{1-\cos(8)}{4}.$$

[2] Calcule o volume do sólido limitado por  $z+x^2=9$ , z+y=4, y=0 e y=4. O sólido é limitado superiormente por  $z=9-x^2$  e inferiormente por z=4-y. W é do tipo I.



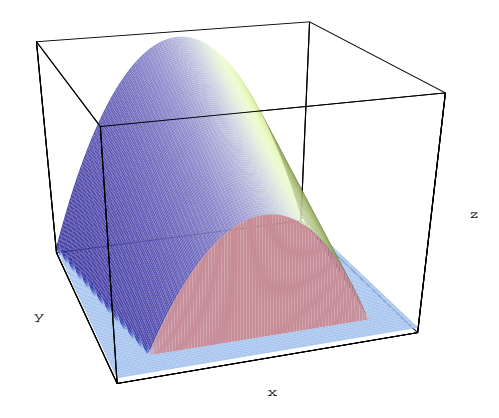


Figura 8.7: Sólido do exemplo [2].

$$W = \{(x, y, z) \in \mathbb{R}^3 / (x, y) \in D, 4 - y \le z \le 9 - x^2\},\$$

**Determinação de D:** A região D é a projeção de W no plano xy; para determinar D basta eliminarmos z das equações ou, equivalentemente achar a interseção de ambas as superfícies:

$$\begin{cases} z = 9 - x^2 \\ z = 4 - y; \end{cases}$$

obtemos  $x^2 = y + 5$  e  $D = \{(x, y) \in \mathbb{R}^2 / -\sqrt{y + 5} \le x \le \sqrt{y + 5}, \ 0 \le y \le 4\}.$ 

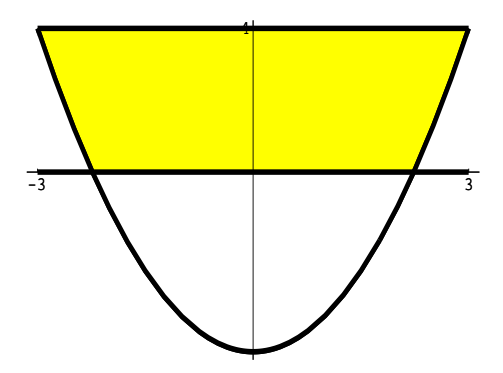


Figura 8.8: A região *D*.

$$\begin{split} \text{Logo, } V(W) &= \iiint_W dx \, dy \, dz = \int_0^4 \left[ \int_{-\sqrt{y+5}}^{\sqrt{y+5}} \left[ \int_{4-y}^{9-x^2} dz \right] dx \right] dy; \text{ então:} \\ V(W) &= \int_0^4 \left[ \int_{-\sqrt{y+5}}^{\sqrt{y+5}} \left( 5 - x^2 + y \right) dx \right] dy = \int_0^4 \left( 5x - \frac{x^3}{3} + x \, y \right) \Big|_{-\sqrt{y+5}}^{\sqrt{y+5}} dy \\ &= \frac{4}{3} \int_0^4 (y+5)^{\frac{3}{2}} dy = \frac{8}{15} \left( y+5 \right)^{\frac{5}{2}} \Big|_0^3 \\ &= \frac{648}{5} - \frac{40 \, \sqrt{5}}{3} \, u.v. \end{split}$$

235

[3] Calcule  $\iiint_W x \, dx \, dy \, dz$  onde W é limitado por  $z=x^2+y^2$ , z=2, no primeiro octante.

Se considerarmos W como região de tipo II, W é definida por  $0 \le y \le \sqrt{z-x^2}$  e D é a projeção de W no plano xz; fazendo y=0 obtemos a parábola  $z=x^2$  e z=2; logo, D é definida por  $0 \le x \le \sqrt{z}$  e  $0 \le z \le 2$ .

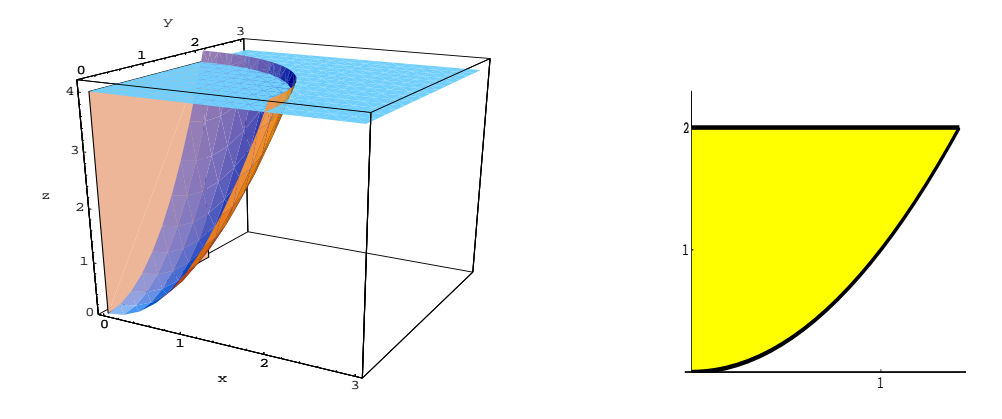


Figura 8.9: O sólido e a região do exemplo [2].

$$\iiint_{W} x \, dx \, dy \, dz = \int_{0}^{2} \left[ \int_{0}^{\sqrt{z}} \left( \int_{0}^{\sqrt{z-x^{2}}} x \, dy \right) \, dx \right] dz = \int_{0}^{2} \left[ \int_{0}^{\sqrt{z}} \left( x \sqrt{z-x^{2}} \right) \, dx \right] dz = \frac{1}{3} \int_{0}^{2} z^{\frac{3}{2}} \, dz$$
$$= \frac{8\sqrt{2}}{15}.$$

# Capítulo 9

# Mudança de Coordenadas

# 9.1 Introdução

Sejam  $W^*$  uma região elementar no espaço e x, y e z as seguintes funções:

$$x, y, z: W^* \longrightarrow \mathbb{R},$$

onde x=x(u,v,w), y=y(u,v,w) e z=z(u,v,w) são funções contínuas e com derivadas parciais contínuas num paralelepípedo aberto R tal que  $W^* \subset R$ , Estas três funções determinam uma transformação do espaço uvw no espaço xyz. De fato:

$$T: W^* \longrightarrow \mathbb{R}^3$$
,

onde T(u, v, w) = (x(u, v, w), y(u, v, w), z(u, v, w)).

A transformação *T* é também denotada por:

$$\begin{cases} x = & x(u, v, w) \\ y = & y(u, v, w) \\ z = & z(u, v, w), \quad (u, v, w) \in W^* \end{cases}$$

Denotemos a imagem de  $W^*$  por T como  $W = T(W^*)$ , contida no espaço xyz.

### Definição 9.1.

- 1.  $T \notin \text{injetiva} \ em \ W^* \ se \ T((u_1, v_1, w_1)) = T((u_2, v_2, w_2)) \ para \ todos \ (u_1, v_1, w_1), \ (u_2, v_2, w_2) \in W^* \ implica \ em \ u_1 = u_2, v_1 = v_2 \ e \ w_1 = w_2.$
- 2. O determinante **Jacobiano** de T é denotado e definido por:

$$\frac{\partial(x,y,z)}{\partial(u,v,w)} = \det \begin{bmatrix} \frac{\partial x}{\partial u} & \frac{\partial x}{\partial v} & \frac{\partial x}{\partial w} \\ \frac{\partial y}{\partial u} & \frac{\partial y}{\partial v} & \frac{\partial y}{\partial w} \\ \frac{\partial z}{\partial u} & \frac{\partial z}{\partial v} & \frac{\partial z}{\partial w} \end{bmatrix},$$

onde as derivadas parciais são calculadas no ponto  $(u, v, w) \in W^*$ .

**Teorema 9.1.** Sejam W e  $W^*$  regiões elementares no espaço, T uma transformação de classe  $C^1$  e injetiva em  $W^*$ . Suponha que  $T(W^*) = W$ . Então para toda função integrável f sobre W temos:

$$\iiint_{W} f(x, y, z) dx dy dz = \iiint_{W^*} f(u, v, w) \left| \frac{\partial(x, y, z)}{\partial(u, v, w)} \right| du dv dw$$

onde  $f(u, v, w) = f(x(u, v, w), y(u, v, w), z(u, v, w)) e\left|\frac{\partial(x, y, z)}{\partial(u, v, w)}\right|$  é o valor absoluto do determinante Jacobiano.

Novamente, é possível mostrar que o teorema anterior é ainda válido se T não é injetiva num subconjunto de  $W^*$  que seja de conteúdo nulo.

## 9.2 Coordenadas Cilíndricas

Se P=(x,y,z) é um ponto no espaço xyz, suas coordenadas cilíndricas são  $(r,\theta,z)$ , onde  $(r,\theta)$  são as coordenadas polares da projeção de P no plano xy e são definidas por:

$$\begin{cases} x = r\cos(\theta), \\ y = r\sin(\theta), \\ z = z, \end{cases}$$

ou, explicitamente  $r = \sqrt{x^2 + y^2}$ , z = z e:

$$\theta = \begin{cases} arctg\left(\frac{y}{x}\right) & \text{se} \quad x, y > 0, \\ \pi + arctg\left(\frac{y}{x}\right) & \text{se} \quad x < 0, \\ 2\pi + arctg\left(\frac{y}{x}\right) & \text{se} \quad x > 0, y < 0. \end{cases}$$

Se x=0, então  $\theta=\frac{\pi}{2}$  quando y>0 e  $\theta=\frac{3\pi}{2}$  quando y<0. Se x=y=0,  $\theta$  não é definido.

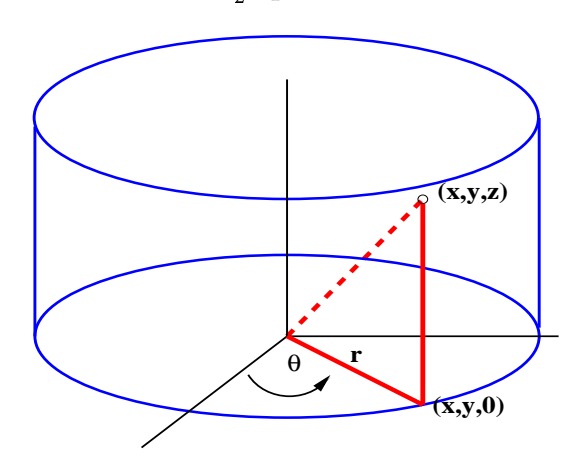


Figura 9.1: Coordenadas cilíndricas.

Esta transformação é injetiva no seguinte subconjunto:

$$\{(r, \theta, z)/r > 0, \ \theta_0 < \theta < \theta_0 + 2\pi, \ z \in (-\infty, +\infty)\}$$

239

e o jacobiano da transformação é:

$$\frac{\partial(x,y,z)}{\partial(r,\theta,z)} = r$$

#### Exemplo 9.1.

[1] O cilindro circular reto C de raio a:  $C=\{(x,y,z)\in\mathbb{R}^3\,/\,x^2+y^2=a^2,\,z\in(-\infty,+\infty)\}.$  Em coordenadas cilíndricas  $x^2+y^2=r^2$ ; logo r=a, então:

$$C = \{(r, \theta, z) \in \mathbb{R}^3 / r = a, 0 \le \theta \le 2\pi, z \in (-\infty, +\infty)\}.$$

[2] O cone com base num disco D de raio 1.5 centrado na origem e altura 3, em coordenadas cilíndricas:

$$z=z, \quad 0 \le r \le \frac{3}{2}, \quad 0 \le \theta \le 2\pi$$

logo, o cone em coordenadas cilíndricas:

$$S = \{r, \theta, z\} \in \mathbb{R}^3 / 0 \le r \le \frac{3}{2}, \ 0 \le \theta \le 2\pi, \ 0 < z < 3\}.$$

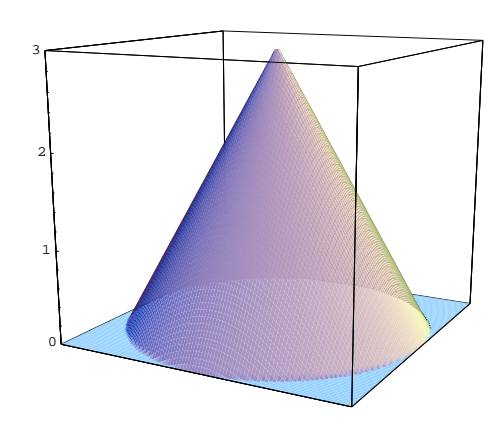


Figura 9.2: O cone do exemplo [2].

Do teorema anterior:

Corolário 9.2. Seja  $f(r, \theta, z) = f(r\cos(\theta), r\sin(\theta), z)$ ; então:

$$\left| \iiint_{W} f(x, y, z) \, dx \, dy \, dz = \iiint_{W^*} r \, f(r, \theta, z) \, dr \, dz \, d\theta \right|$$

Esta igualdade ainda é válida se  $W^* = \{(r, \theta, z)/r \ge 0, \theta_0 \le \theta \le \theta_0 + 2\pi, z \in (-\infty, +\infty)\}$ . Em particular, se f(x, y, z) = 1 para todo  $(x, y, z, z) \in W$ , então:

$$V(W) = \iiint_{W^*} r \, dz \, dr \, d\theta.$$

# Exemplo 9.2.

[1] Determine o volume do sólido limitado por  $x^2+y^2=a^2$ , z=0 e z=b;  $a,\ b\neq 0$ .

O sólido W é um cilindro centrado na origem, de raio a e altura z tal que  $0 \le z \le b$ . Usando coordenadas cilíndricas obtemos a nova região  $W^*$  definida por:  $0 \le r \le a$ ,  $0 \le \theta \le 2\pi$  e  $0 \le z \le b$ :

$$V(W) = \iiint_W r \, dz \, dr \, d\theta = \int_0^b \left[ \int_0^{2\pi} \left[ \int_0^a r \, dr \right] d\theta \right] dz = \pi \, a^2 \, b \, u.v.$$

[2] Calcule 
$$\iiint_W x \, dx \, dy \, dz$$
, onde  $W$  é limitado por  $x=0$ ,  $y=0$ ,  $z=4$  e  $z=x^2+y^2$ .

O sólido W é definido por  $x^2+y^2 \le z \le 4$ . Usando coordenadas cilíndricas obtemos a nova região  $W^*$  definida por:  $r^2 \le z \le 4$ ,  $0 \le r \le 2$  e  $0 \le \theta \le \frac{\pi}{2}$ ; D é a projeção do parabolóide no plano xy, no primeiro quadrante:

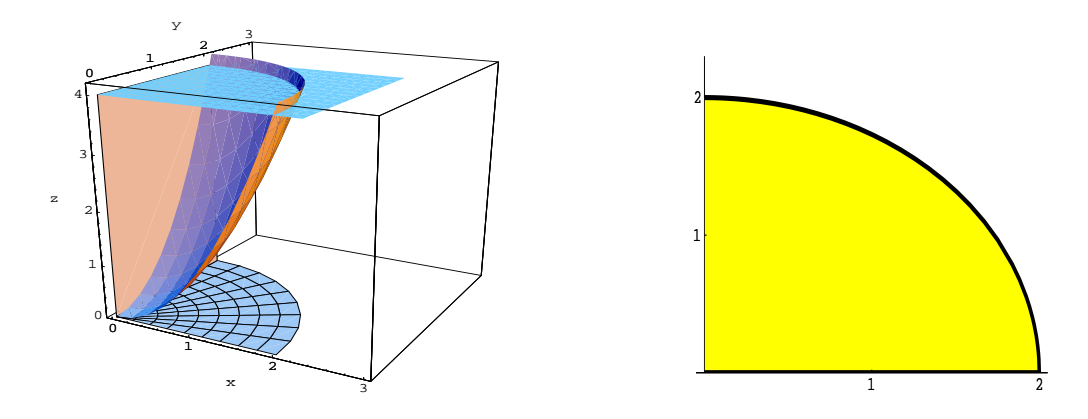


Figura 9.3: O sólido e a região do exemplo [2], respectivamente.

$$\iiint_W x\,dx\,dy\,dz = \iiint_{W^*} r^2\cos(\theta)\,dz\,dr\,d\theta = \int_0^{\frac{\pi}{2}} \left[ \int_0^2 \left[ \int_{r^2}^4 r^2\cos(\theta)dz \right] dr \right] d\theta = \frac{64}{15}.$$

[3] Calcule  $\iiint_W \sqrt{x^2+y^2}\,dx\,dy\,dz$ , onde W é o sólido limitado por  $x^2+y^2=1$ ,  $z=1-x^2-y^2$  abaixo do plano z=4.

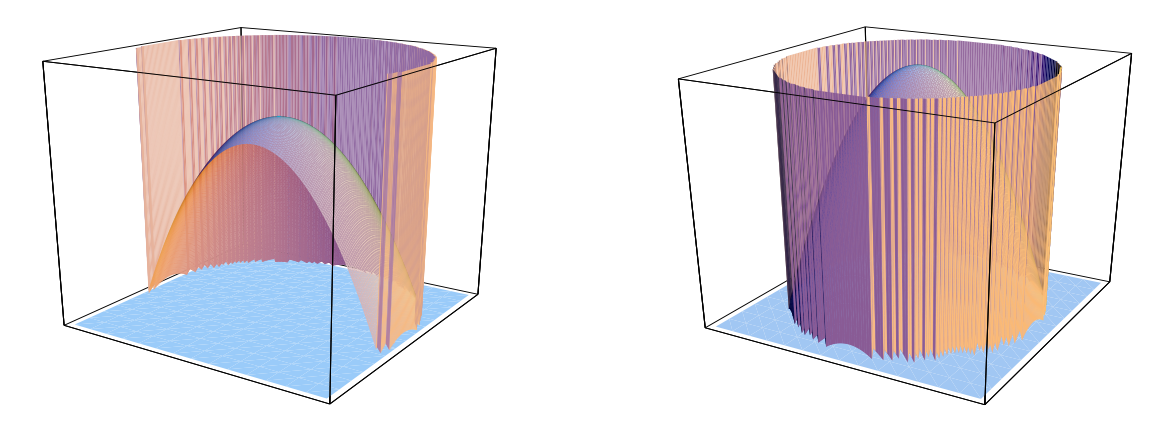


Figura 9.4: Vistas do sólido do exemplo [3].

Wé determinado por  $1-x^2-y^2 \leq z \leq 4.$  A projeção no plano xyé limitada por  $x^2+y^2 \leq 1.$ 

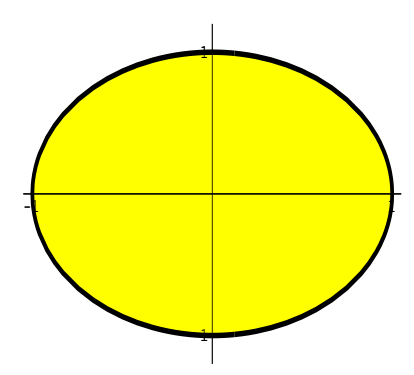


Figura 9.5: A região *D*.

Usando coordenadas cilíndricas obtemos a nova região  $W^*$  determinada por:  $1-r^2 \le z \le 4$ ,  $0 \le r \le 1$  e  $0 \le \theta \le 2\pi$ ; logo:

$$\iiint_W \sqrt{x^2 + y^2} \, dx \, dy \, dz = \int_0^{2\pi} \left[ \int_0^1 \left[ \int_{1-r^2}^4 r^2 \, dz \right] dr \right] d\theta = \frac{12 \, \pi}{5}.$$

[4] Calcule 
$$\iiint_W z \, dx \, dy \, dz$$
, onde  $W$  é limitado por  $z = \sqrt{8 - x^2 - y^2}$  e  $z = \sqrt{x^2 + y^2}$ .

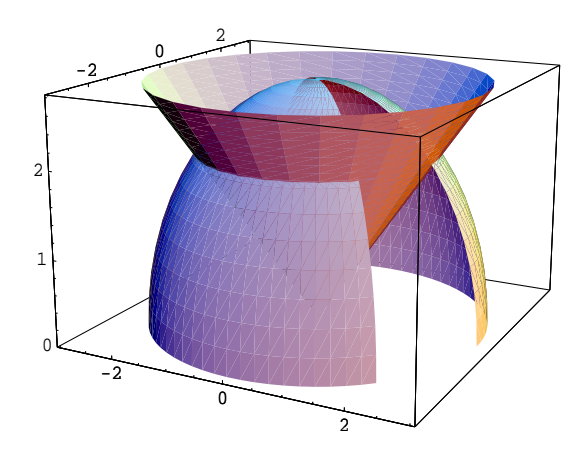


Figura 9.6: O sólido do exemplo [4].

W é determinado por  $\sqrt{x^2+y^2} \le z \le \sqrt{8-x^2-y^2}$ . A projeção no plano xy é limitada por  $x^2+y^2 \le 4$ . Usando coordenadas cilíndricas obtemos a nova região  $W^*$  determinada por:  $r \le z \le \sqrt{8-r^2}$ ,  $0 \le r \le 2$  e  $0 \le \theta \le 2\pi$ ; logo:

$$\iiint_{W} z \, dx \, dy \, dz = \int_{0}^{2} \left[ \int_{0}^{2\pi} \left[ \int_{r}^{\sqrt{8-r^{2}}} r \, z \, dz \right] d\theta \right] dr = 8 \, \pi.$$

[5] Determine o volume do sólido limitado por uma esfera de raio a.

Pela simetria do sólido calculamos o volume da calota superior da esfera e multiplicamos o resultado por 2. O sólido é definido por  $0 \le z \le \sqrt{a^2 - x^2 - y^2}$ . Usando coordenadas cilíndricas temos que o novo sólido é definido por  $0 \le z \le \sqrt{a^2 - r^2}$ ,  $0 \le r \le a$  e  $0 \le \theta \le 2\pi$ ; logo:

$$V(W) = 2 \iiint_W dx \, dy \, dz = 2 \int_0^a \left[ \int_0^{2\pi} \left[ \int_0^{\sqrt{a^2 - r^2}} r \, dz \right] d heta 
ight] dr = rac{4}{3} \pi \, a^3 u.v.$$

[6] Determine o volume do sólido limitado por  $z=\sqrt{1-x^2-y^2}$  e  $z+1=\sqrt{x^2+y^2}$ .

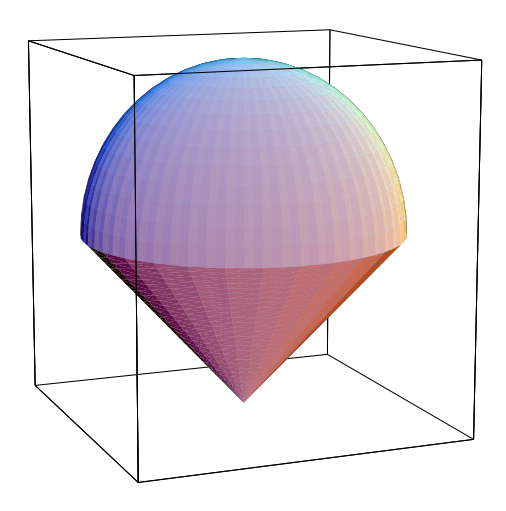


Figura 9.7: O sólido do exemplo [6].

243

W é definido por  $\sqrt{x^2+y^2}-1 \le z \le \sqrt{1-x^2-y^2}$ . Usando coordenadas cilíndricas temos que o novo sólido é definido por  $r-1 \le z \le \sqrt{1-r^2}$ ,  $0 \le r \le 1$  e  $0 \le \theta \le 2\pi$ ; logo:

$$V(W)=\iiint_W dx\,dy\,dz=2\int_0^1\left[\int_0^{2\pi}\left[\int_{r-1}^{\sqrt{1-r^2}}r\,dz
ight]d heta
ight]dr=\pi u.v.$$

[7] Determine o volume do sólido limitado por  $z = 9 - x^2 - y^2$  e  $z = 1 + x^2 + y^2$ .

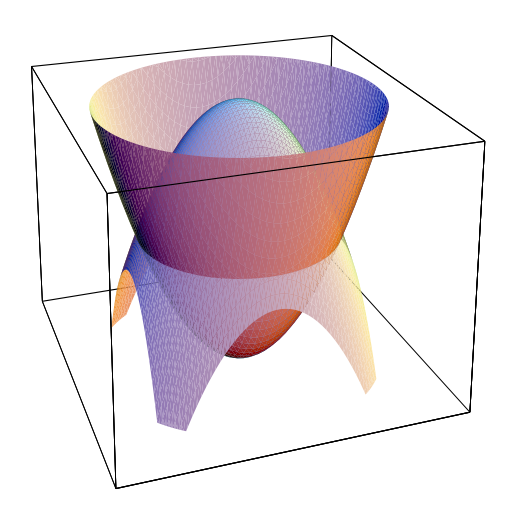


Figura 9.8: O sólido do exemplo [7].

W é definido por  $1+x^2+y^2 \le z \le 9-x^2-y^2$ . Usando coordenadas cilíndricas temos que o novo sólido é definido por  $1+r^2 \le z \le 9-r^2$ ,  $0 \le r \le 2$  e  $0 \le \theta \le 2$   $\pi$ ; logo:

$$V(W) = \iiint_W dx \, dy \, dz = \int_0^{2\pi} \left[ \int_0^2 \left[ \int_{1+r^2}^{9-r^2} r \, dz \right] dr \right] d heta = 16 \, \pi u.v.$$

## 9.3 Coordenadas Esféricas

Seja P=(x,y,z) um ponto no espaço xyz. Suas coordenadas esféricas são  $(\rho,\theta,\phi)$  onde  $\rho$  é a distância do ponto P à origem,  $\theta$  é o ângulo formado pelo eixo positivo dos x e o segmento de reta que liga (0,0,0) a (x,y,0) e  $\phi$  é o ângulo formado pelo eixo positivo dos z e o segmento de reta que liga P à origem:

$$\begin{cases} x = \rho \operatorname{sen}(\phi) \cos(\theta) \\ y = \rho \operatorname{sen}(\phi) \operatorname{sen}(\theta) \\ z = \rho \cos(\phi), \end{cases}$$

onde  $\rho = \sqrt{x^2 + y^2 + z^2} > 0$ ,  $0 \le \theta < 2\pi$  e  $0 \le \phi \le \pi$ , o que define uma região no espaço  $\rho\theta\phi$ .

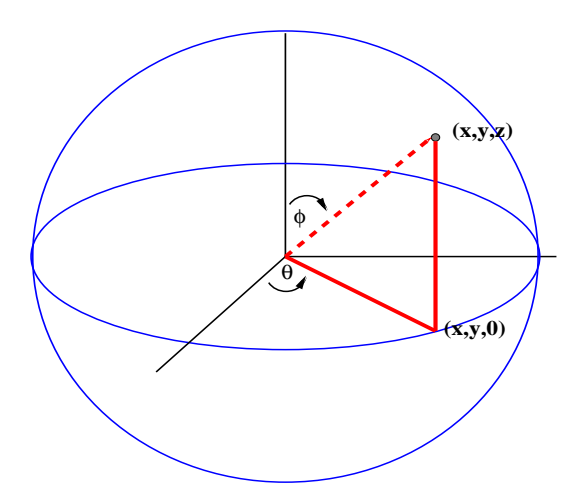


Figura 9.9: Coordenadas esféricas.

O jacobiano da transformação é:

$$\boxed{rac{\partial(x,y,z)}{\partial(
ho, heta,\phi)} = -
ho^2 sen(\phi)}$$

## Exemplo 9.3.

[1] Em coordenadas esféricas uma esfera de raio a é:

$$S = \{ (\rho, \phi, \theta) \in \mathbb{R}^3 / \rho = a, 0 \le \phi \le \pi, 0 \le \theta \le 2\pi \}.$$

[2] Os cones circulares com eixos coincidentes com o eixo dos z são caracterizados por:

$$S = \{(\rho, \phi, \theta) \in \mathbb{R}^3 / \rho \in [0, +\infty), \ \phi = c_0, \ 0 \le \theta \le 2\pi\},\$$

onde  $c_0 \in \mathbb{R}$ .

Casos particulares:

Se  $c_0 = 0$  e  $\phi = 0$ , S representa o semi-eixo positivo dos z.

Se  $c_0 = \pi$  e  $\phi = \pi$ , S representa o semi-eixo negativo dos z.

Se  $c_0 = \frac{\pi}{2}$  e  $\phi = \frac{\pi}{2}$ , S representa o plano xy.

Se  $0 < c_0 < \frac{\pi}{2}$  e  $\phi = c_0$ , o cone "abre" para cima.

Se  $\frac{\pi}{2} < c_0 < \pi$  e  $\phi = c_0$ , o cone "abre" para baixo.

[3] O sólido limitado por  $x^2+y^2+z^2\geq 1$  e  $x^2+y^2+z^2\leq 4$  em coordenadas esféricas é dado por:

$$W = \{(\rho, \phi, \theta) \in \mathbb{R}^3 \ / \ \rho \in [1, 2], \ 0 \le \phi \le \pi, \ 0 \le \theta \le 2 \ \pi\}.$$

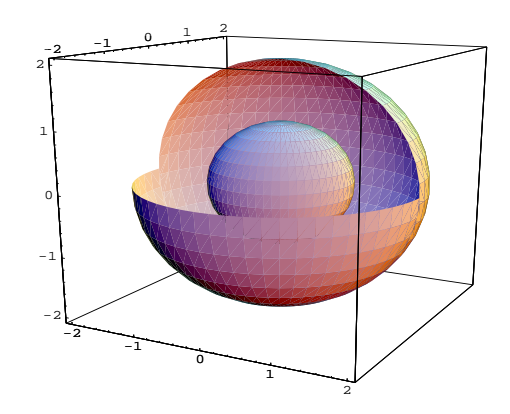


Figura 9.10: Sólido do exemplo [3].

Do teorema anterior:

**Corolário 9.3.** *Seja*  $f(\rho, \theta, \phi) = f(\rho cos(\theta) sen(\phi), \rho sen(\theta) sen(\phi), \rho cos(\phi))$ , então:

$$\boxed{ \iiint_W f(x,y,z) \, dx \, dy \, dz = \iiint_{W^*} \rho^2 sen(\phi) \, f(\rho,\theta,\phi) \, d\rho \, d\theta \, d\phi}$$

Esta igualdade ainda é válida se  $W^* = \{(\rho, \theta, \phi) / \rho \in [0, +\infty), 0 \le \theta \le 2\pi, 0 \le \phi \le \pi\}$ . Em particular, se f(x, y, z) = 1 para todo  $(x, y, z, y) \in W$ , então:

$$V(W) = \iiint_{W^*} \rho^2 sen(\phi) \, d\rho \, d\theta \, d\phi$$

### Exemplo 9.4.

[1] Calcule o volume do sólido limitado por uma esfera de raio a centrada na origem.

$$\iiint_{W} dx \, dy \, dz = \int_{0}^{a} \left[ \int_{0}^{\pi} \left[ \int_{0}^{2\pi} \rho^{2} sen(\phi) \, d\theta \right] d\phi \right] d\rho = 2\pi \int_{0}^{a} \left[ \int_{0}^{\pi} \rho^{2} sen(\phi) \, d\phi \right] d\rho$$
$$= \frac{2}{3}\pi a^{3} \int_{0}^{\pi} sen(\phi) \, d\pi = \frac{4}{3}\pi a^{3} u.v.$$

[2] Calcule  $\iiint_W e^{\sqrt{(x^2+y^2+z^2)^3}} dx \, dy \, dz$  onde W é o sólido limitado por  $x^2+y^2+z^2=1$ . Usando coordenadas esféricas temos  $0 \le \rho \le 1$ ,  $0 \le \theta \le 2 \pi$  e  $0 \le \phi \le \pi$ , que define uma região no espaço  $\rho\theta\phi$ . Por outro lado  $e^{\sqrt{(x^2+y^2+z^2)^3}}=e^{\rho^3}$ 

$$\iiint_{W} e^{(x^{2}+y^{2}+z^{2})^{\frac{3}{2}}} dx \, dy \, dz = \int_{0}^{1} \left[ \int_{0}^{\pi} \left[ \int_{0}^{2\pi} \rho^{2} e^{\rho^{3}} sen(\phi) \, d\theta \right] d\phi \right] d\rho 
= 2\pi \int_{0}^{1} \left[ \int_{0}^{\pi} \left( \rho^{2} e^{\rho^{3}} sen(\phi) \right) d\phi \right] d\rho 
= 4\pi \int_{0}^{1} \rho^{2} e^{\rho^{3}} d\rho = \frac{4}{3}\pi (e-1).$$

[3] Calcule  $\iiint_W \sqrt{x^2 + y^2 + z^2} dx \, dy \, dz$  onde W é o sólido limitado inferiormente por  $z = \sqrt{x^2 + y^2}$  e superiormente por  $x^2 + y^2 + (z - \frac{1}{2})^2 = \frac{1}{4}$ .

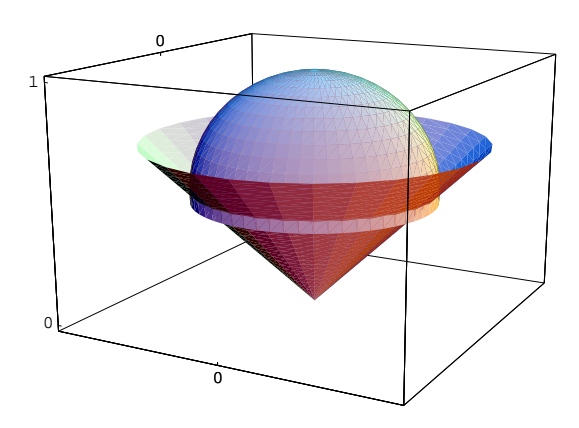


Figura 9.11: Sólido do exemplo [3].

A esfera  $x^2+y^2+(z-\frac{1}{2})^2=\frac{1}{4}$ , em coordenadas esféricas, tem como equação:  $\rho=cos(\phi)$  e o cone:  $\phi=\frac{\pi}{4}$ ; logo,  $0\leq\rho\leq cos(\phi)$ ,  $0\leq\phi\leq\frac{\pi}{4}$  e  $0\leq\theta\leq 2$   $\pi$ :

$$\begin{split} \iiint_{W} \sqrt{x^{2} + y^{2} + z^{2}} dx \ dy \ dz &= \int_{0}^{\frac{\pi}{4}} \left[ \int_{0}^{\cos(\phi)} \left[ \int_{0}^{2\pi} \rho^{3} \sin(\phi) \ d\theta \right] d\rho \right] d\phi = 2\pi \int_{0}^{\frac{\pi}{4}} \left[ \int_{0}^{\cos(\phi)} \rho^{3} \sin(\phi) \ d\rho \right] d\phi \\ &= \frac{\pi}{2} \int_{0}^{\frac{\pi}{4}} \cos^{4}(\phi) \sin(\phi) \ d\phi = \frac{\pi}{10} (1 - \frac{\sqrt{2}}{8}). \end{split}$$

[4] Calcule  $\iiint_W e^{(x^2+y^2+z^2)^{\frac{3}{2}}} dx \, dy \, dz$  onde W é o sólido limitado pela esfera centrada na origem de raio 4 e os cones  $z=\sqrt{3(x^2+y^2)}$  e  $z=\sqrt{\frac{x^2+y^2}{3}}$ .

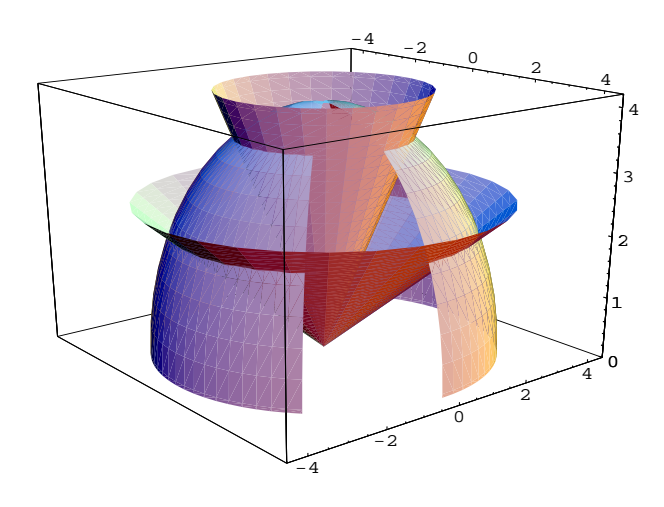


Figura 9.12: Sólido do exemplo [4].

Usando coordenadas esféricas a equação da esfera  $x^2+y^2+z^2=16$  é  $\rho=4$  e as dos cones

9.4. EXERCÍCIOS 247

 $z=\sqrt{3(x^2+y^2)}$  e  $z=\sqrt{\frac{x^2+y^2}{3}}$  são,  $\phi=\frac{\pi}{6}$  e  $\phi=\frac{\pi}{3}$ , respectivamente; logo, a região no espaço  $ho\theta\phi$  é definida por:  $0\leq\rho\leq4$ ,  $0\leq\theta\leq2\pi$  e  $\frac{\pi}{6}\leq\phi\leq\frac{\pi}{3}$ :

$$\iiint_W e^{(x^2+y^2+z^2)^{\frac{3}{2}}} dx \ dy \ dz = \int_0^{2\pi} \left[ \int_{\frac{\pi}{6}}^{\frac{\pi}{3}} \left[ \int_0^4 \rho^2 \ e^{\rho^3} \ sen(\phi) \ d\rho \right] d\phi \right] d\theta = \frac{\pi}{3} \left( \sqrt{3} - 1 \right) (e^{64} - 1).$$

## 9.4 Exercícios

1. Calcule as seguintes integrais:

(a) 
$$\int_0^3 \int_0^2 \int_0^1 (x^2 + y^2 + z^2) \, dx \, dy \, dz$$
   
(b)  $\int_{-1}^1 \int_{-1}^1 \int_{-1}^1 x^2 \, y^2 \, z^2 \, dx \, dy \, dz$    
(c)  $\int_0^1 \int_0^x \int_0^{xy} x \, dz \, dy \, dx$    
(d)  $\int_0^4 \int_0^{\pi} \int_0^{1-x} x^2 \, sen(y) \, dz \, dx \, dy$    
(e)  $\int_0^{\frac{\pi}{2}} \int_0^y \int_0^{\frac{1}{y}} sen(y) \, dz \, dx \, dy$    
(f)  $\int_{-2}^1 \int_0^x \int_0^y x^2 \, z^4 \, dz \, dy \, dx$ 

2. Considere o sólido limitado por x + y + z = 3, x + y - z = 1 e os planos coordenados. Calcule o volume do sólido, fazendo:

(a) 
$$\int \left[ \int \left[ \int dz \right] dy \right] dx$$
 (c)  $\int \left[ \int \left[ \int dy \right] dx \right] dz$  (b)  $\int \left[ \int \left[ \int dx \right] dy \right] dz$  (d)  $\int \left[ \int \left[ \int dx \right] dz \right] dy$ 

3. Faça a mudança de variável necessária para calcular as seguintes integrais:

(a) 
$$\int_{-2}^{2} \int_{-\sqrt{4-x^2}}^{\sqrt{4-x^2}} \int_{x^2+y^2}^{4} x \, dz \, dy \, dx.$$
(b) 
$$\int_{0}^{2} \int_{0}^{\sqrt{4-x^2}} \int_{0}^{\sqrt{16-x^2-y^2}} \sqrt{x^2+y^2} \, dz \, dy \, dx.$$
(c) 
$$\int_{-1}^{1} \int_{-\sqrt{1-x^2}}^{\sqrt{1-x^2}} \int_{1}^{1+\sqrt{1-x^2-y^2}} x \, dz \, dy \, dx.$$
(d) 
$$\int_{0}^{1} \int_{0}^{\sqrt{1-x^2}} \int_{0}^{\sqrt{1-x^2-y^2}} \sqrt{x^2+y^2+z^2} \, dz \, dy \, dx.$$

- 4. Calcule:
  - (a)  $\iint_W x\,dx\,dy\,dz$ , onde W é o sólido limitado pelos planos x=0,y=0,z=2 e pelo parabolóide  $z=x^2+y^2$ .

- (b)  $\iint_W x \, dx \, dy \, dz$ , onde W é o sólido limitado pelo parabolóide  $x = 4z^2 + 4y^2$  e pelo plano x = 4.
- (c)  $\iint_W 6 x y dx dy dz$ , onde W está acima da região plana limitada pelas curvas  $y = \sqrt{x}$ , y = 0, x = 1 e abaixo do plano z = 1 + x + y.
- (d)  $\iint_W x y \, dx \, dy \, dz$ , onde W é o tetraedro de vértices (0,0,0), (1,0,0), (0,2,0) e (0,0,3).

#### 5. Determine o volume:

- (a) do sólido limitado pelo cilindro  $x = y^2$  e pelos planos z = 0 e x + z = 1.
- (b) do sólido limitado pelo cilindro y=cos(x) e pelos planos  $z=y,\,x=0,\,x=\frac{\pi}{2}$  e z=0.
- 6. O **valor médio** de uma função w = f(x, y, z) sobre a região W é definido por:

$$V_M = \frac{1}{vol(W)} \iiint_W f(x, y, z) dx dy dz.$$

Determine o valor médio da função f(x, y, z) = x y z sobre o cubo com lados de comprimento L que está no primeiro octante com um vértice na origem e arestas paralelas aos eixos coordenados.

#### 7. Calcule, usando coordenadas cilíndricas:

- (a)  $\iiint_W \sqrt{x^2 + y^2} \, dx \, dy \, dz$ , onde W é a região contida dentro do cilindro  $x^2 + y^2 = 16$  e entre os planos z = -5 e z = 4.
- (b)  $\iiint_W \left(x^2+y^2\right) dx\,dy\,dz \text{, onde } W \text{ \'e o cone } \sqrt{x^2+y^2} \leq z \leq 1.$

(c) 
$$\iiint_W \left(1 + \sqrt{x^2 + y^2}\right) dx dy dz$$
, onde  $W = \{(x, y, z) \in \mathbb{R}^3 / \sqrt{x^2 + y^2} \le z \le 1\}$ .

## 8. Calcule, usando coordenadas esféricas:

- (a)  $\iiint_W \sqrt{x^2 + y^2 + z^2} \, dx \, dy \, dz$ , onde W é limitado por abaixo pelo cone  $\rho = \frac{\pi}{6}$  e acima pela esfera  $\rho = 2$ .
- (b)  $\iiint_W (x^2 + y^2 + z^2) dx dy dz, \text{ onde } W = \{(x, y, z) \in \mathbb{R}^3 / x^2 + y^2 + z^2 \le 1\}.$
- (c)  $\iiint_W \frac{dx \, dy \, dz}{\left(\sqrt{x^2 + y^2 + z^2}\right)^3}$ , onde W é o sólido limitado pelas esferas  $x^2 + y^2 + z^2 = a^2$  e  $x^2 + y^2 + z^2 = b^2$ , (a < b).
- (d)  $\iiint_W \frac{dx \, dy \, dz}{z^2}$ , onde W é o sólido limitado pelas superfícies  $z=\sqrt{x^2+y^2}$ ,  $z=\sqrt{1-x^2-y^2}$  e  $z=\sqrt{4-x^2-y^2}$ .

9.4. EXERCÍCIOS 249

(e) 
$$\iiint\limits_{Z} \sqrt{x^2 + y^2 + z^2} \, dx \, dy \, dz$$
, onde  $W = \{(x, y, z) \in \mathbb{R}^3 \, / \, x^2 + y^2 + z^2 \le 2 \, z \, , \, 1 \le z \le 2 \, z \, , \, 1 \le z \le 2 \, z \, , \, 1 \le z \le 2 \, z \, , \, 1 \le z \le 2 \, z \, , \, 1 \le z \le 2 \, z \, , \, 1 \le z \le 2 \, z \, , \, 1 \le z \le 2 \, z \, , \, 1 \le z \le 2 \, z \, , \, 1 \le 2 \, z \, , \, 2 \ge 2 \, z \, , \, 2 \le 2 \, z \, , \, 2 \le 2 \, z \, , \, 2 \ge 2 \, z \,$ 

- 9. Calcule o volume do sólido limitado:
  - (a) Por  $z = 4 x^2 y^2$  e pelo plano xy.
  - (b) Por  $z = x^2 + y^2$  e  $x^2 + y^2 + z^2 = 2$ .
  - (c) Por  $z = x^2 + 9y^2$  e  $z = 18 x^2 9y^2$ .
  - (d) Por  $z = 2x^2 + 2y^2$  e  $z = 48 x^2 y^2$ .
- 10. Calcule  $\iiint_W \left(\frac{x^2}{a^2} + \frac{y^2}{b^2} + \frac{y^2}{c^2}\right) dx \, dy \, dz$ , onde a, b, c > 0 e o sólido definido por:  $W = \{(x, y, z) \in \mathbb{R}^3 \ / \ \frac{x^2}{a^2} + \frac{y^2}{b^2} + \frac{y^2}{c^2} \le 1\}.$
- 11. Calcule  $\iiint_W x y z dx dy dz$ , onde W é formado pelo primeiro octante do elipsóide do exercício anterior,  $(x, y, z \ge 0)$ .